

# Riassunto della lezione precedente

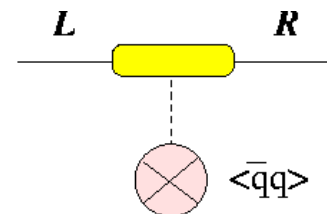
- teoria di campo quantizzata sul light-cone e` equivalente a teoria di campo standard nell'Infinite **M**omentum **F**rame (IFM,  $Q^2 \rightarrow \infty$ ) e coincide con OPE per scattering DIS inclusivo
- DIS inclusivo coinvolge l'operatore bilocale  $\Phi$ , correlatore quark-quark; nell'IFM estrazione del contributo a leading twist  $\rightarrow$  proiezione  $\Phi^{[\Gamma]}$  con interpretazione probabilistica delle distribuzioni :
  - $\Gamma = \gamma^+$   $\rightarrow$  distribuzione di momento  $f_1(x)$
  - $\Gamma = \gamma^+\gamma_5$   $\rightarrow$  distribuzione di elicit`  $g_1(x)$
  - $\Gamma = i\sigma^i+\gamma_5$   $\rightarrow$  distribuzione di spin trasverso  $h_1(x)$
- la "trasversita`"  $h_1(x)$  mischia stati di elicit` diversi del quark  $\rightarrow$  proprieta` anomale ed interessanti; difficolta` di estrazione dai dati

Base di elicità  $h_1 \sim \phi^\dagger P_L^\dagger P_R \phi$

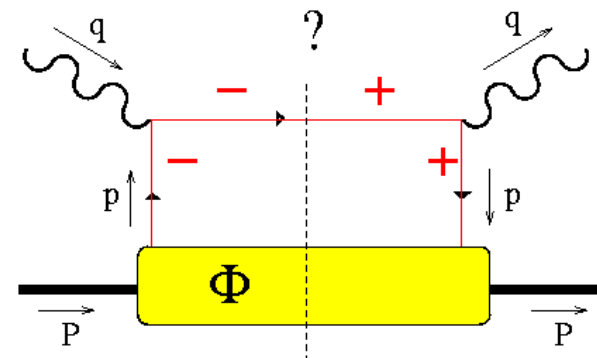
Base di trasversità  $h_1 \sim \phi^\dagger (P_\uparrow^\dagger P_\uparrow - P_\downarrow^\dagger P_\downarrow) \phi$

per componenti “good” ( $\Leftrightarrow$  twist 2) elicità = chiralità  
 quindi  $h_1$  non conserva chiralità (chiral odd)

$h_1$  può quindi essere determinata da processi soft legati alla rottura della simmetria chirale della QCD (ruolo del vuoto nonperturbativo di QCD?)



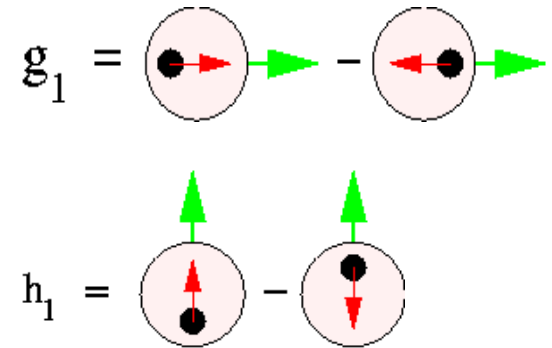
QCD conserva l'elicità al leading twist  
 $\rightarrow h_1$  soppressa in DIS inclusivo



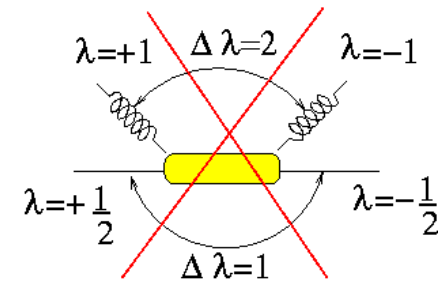
Inoltre in **base di elicità** la sezione d'urto deve essere chiral-even quindi per estrarre  $h_1$  bisogna trovare un processo elementare in cui appaia insieme ad un partner chiral-odd, in modo da “annullare l'effetto”; il vincolo ulteriore è che tale contributo appaia al leading twist.

# Chiral-odd $h_1 \rightarrow$ interessanti proprietà rispetto alle altre distribuzioni

- $g_1$  e  $h_1$  (e tutte le PDF) sono definite nell'IFM cioè boost  $Q \rightarrow \infty$  lungo l'asse  $z$  ma boost e rotazioni di Galileo commutano in frame nonrelativistico  $\rightarrow g_1 = h_1$  ogni differenza è data da effetti relativistici  $\rightarrow$  info su dinamica relativistica dei quarks



- per gluone si definiscono  $G(x)$  = la distribuzione di momento  $\Delta G(x)$  = la distribuzione di elicità però non esiste la "trasversità" in adrone a spin  $1/2$   $\Rightarrow$  evoluzione di  $h_1(x, Q^2)$  non riceve contributi gluonici !



$$\langle PS | \bar{q}^f \gamma^i \gamma_5 \frac{\lambda^f}{2} q^f | PS \rangle \Big|_{Q^2} = 2S^i \int dx \left[ g_1^f(x, Q^2) \oplus \bar{g}_1^f(x, Q^2) \right] \propto g_A$$

el. matrice operatore locale (non-singlet) = momento di distribuzione carica assiale

$$\langle PS | \bar{q}^f i\sigma^{0i} \gamma_5 \frac{\lambda^f}{2} q^f | PS \rangle \Big|_{Q^2} = 2S^i \int dx \left[ h_1^f(x, Q^2) \ominus \bar{h}_1^f(x, Q^2) \right] = 2S^i h_1^f(Q^2)$$

**carica tensoriale**

- carica assiale da operatore C(arge)-even  
carica tensoriale C-odd  $\rightarrow$  non prende contributi da coppie quark-antiquark del mare di Dirac

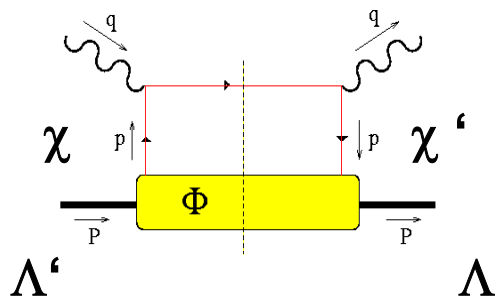
(continua)

**riassumendo:** l'evoluzione di  $h_1(x, Q^2)$  e' molto diversa dalle altre PDF perche' tutti gli operatori locali legati ad  $h_1$  non prendono contributi ne' dai gluoni ne' dal mare di Dirac  $\rightarrow$  evoluzione tipica di una PDF di non-singoletto

• relazioni tra PDF's

positivita' delle densita' di probabilita'  $\rightarrow f_1 \geq |g_1|$  ,  $f_1 \geq |h_1|$

proiezione di  $\Phi(x)$  su spazio di (chiralita'  $\chi = R/L$  del quark)  $\otimes$  (spin  $\Lambda$  del N)



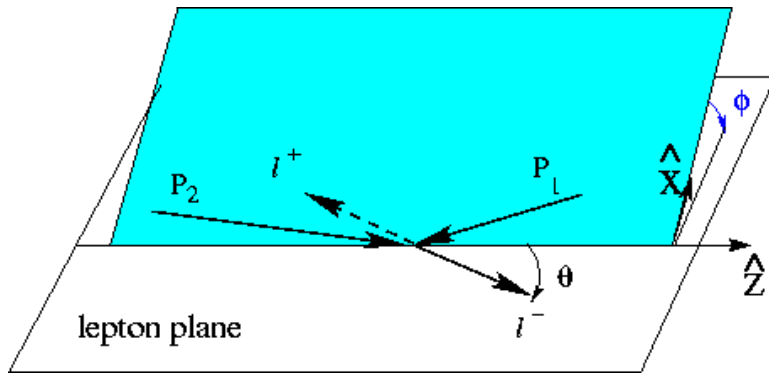
$$\Phi_{\chi'\chi}^{\Lambda'\Lambda} = \begin{array}{cc|cc} \mathbf{RR} & & & \mathbf{RL} \\ \hline f_1 + g_1 & 0 & 0 & 0 \\ 0 & f_1 - g_1 & 2h_1 & 0 \\ \hline 0 & 2h_1 & f_1 - g_1 & 0 \\ 0 & 0 & 0 & f_1 + g_1 \\ \mathbf{LR} & & & \mathbf{LL} \end{array}$$



$\|\Phi\| \geq 0 \rightarrow$  diseguaglianza di Soffer:  $f_1 + g_1 \geq 2|h_1|$

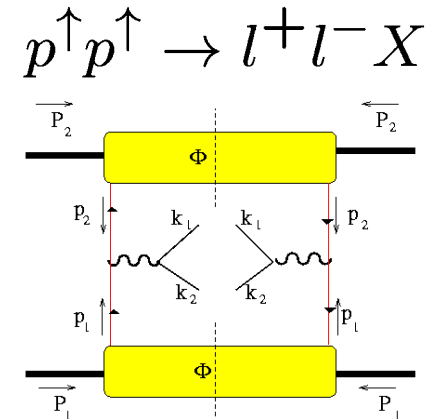
# Come estrarre la trasversita` dai dati ?

No DIS inclusivo  $\rightarrow$  scelta piu` ovvia: Drell-Yan polarizzato



Collins-Soper frame:  
 $\mathbf{q}_T(\gamma^*)$  in (xz) plane

$$x_{1/2} = \frac{Q^2}{2P_{1/2} \cdot q}$$



$$W^{\mu\nu} = \int d\mathbf{q}_T \int \frac{d^4\xi}{(2\pi)^4} e^{iq \cdot \xi} \langle P_1 S_1, P_2 S_2 | [J^\mu(\xi), J^\nu(0)] | P_1 S_1, P_2 S_2 \rangle$$

$$\rightarrow \frac{1}{3} \sum_{f, \bar{f}} e_f^2 \text{Tr} [\Phi_f(x_1, S_1) \gamma^\mu \bar{\Phi}_{\bar{f}}(x_2, S_2) \gamma^\nu] + (\mu \leftrightarrow \nu)$$

$$\Phi(x, S) = \int dp^- dp_T \Phi(p, P, S) \Big|_{p^+ = xP^+} \longrightarrow [f_1(x) + \lambda g_1(x) \gamma_5 + h_1(x) \gamma_5 \not{S}_T]$$

$$\frac{d\sigma^{\uparrow\uparrow}}{dx_1 dx_2 d\Omega} = \frac{d\sigma^o}{dx_1 dx_2 d\Omega} + \frac{\Delta\sigma}{dx_1 dx_2 d\Omega}$$

$$\sim \frac{\alpha^2}{12Q^2} \sum_{f, \bar{f}} e_f^2 \left\{ f_1^f(x_1) \bar{f}_1^{\bar{f}}(x_2) (1 + \cos^2 \theta) + |\mathbf{S}_{1T}| |\mathbf{S}_{2T}| \sin^2 \theta \cos 2\phi h_1^f(x_1) \bar{h}_1^{\bar{f}}(x_2) \right\}$$

## Single-Spin Asymmetry (SSA)

$$\begin{aligned}
 A_{TT} &= \frac{d\sigma(p^\uparrow p^\uparrow) - d\sigma(p^\uparrow p^\downarrow)}{d\sigma(p^\uparrow p^\uparrow) + d\sigma(p^\uparrow p^\downarrow)} \\
 &= |S_{T_1}| |S_{T_2}| \frac{\sin^2 \theta \cos 2\phi}{1 + \cos^2 \theta} \frac{\sum_{f, \bar{f}} e_f^2 h_1^f(x_1) \bar{h}_1^f(x_2)}{\sum_{f, \bar{f}} e_f^2 f_1^f(x_1) \bar{f}_1^f(x_2)}
 \end{aligned}$$

Ma = distribuzione di spin trasverso per antiquark in protone polarizz.  
 → antiquark del mare di Dirac e' soppresso

Inoltre simulazioni indicano che disuguaglianza di Soffer, imposta ad ogni  $Q^2$  nell'evoluzione, vincola  $A_{TT}$  a numeri troppo piccoli ( $\lesssim 1\%$ )

Meglio considerare  $p^\uparrow \bar{p}^\uparrow \rightarrow l^+ l^- X$  (recente proposals PAX & ASSIA al GSI)

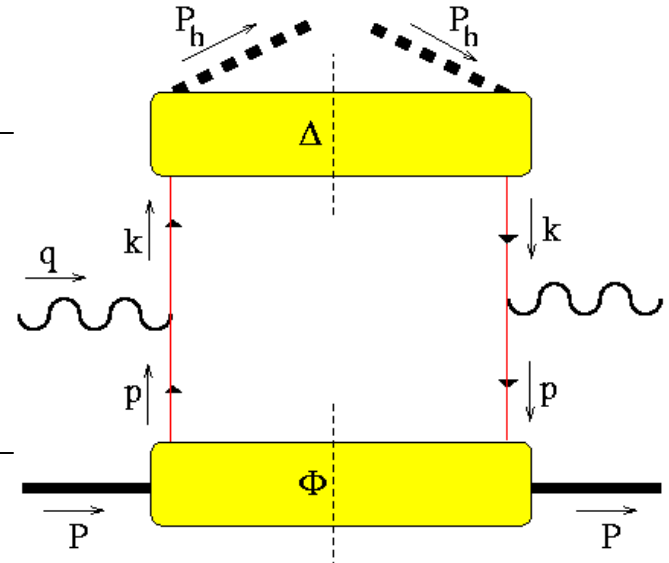
Altrimenti .... si devono considerare reazioni semi-inclusive

## Altra alternativa → DIS semi-inclusivo

diagramma  
dominante  
al leading twist

partner  
chiral-odd

chiral-odd



i 3 vettori  $P, q, P_h$  non possono essere tutti collineari → 2 scelte:

1.  $\perp$ -frame (sperimentale)  $\mathbf{P}_{\perp} = \mathbf{q}_{\perp} = \mathbf{0}$ ,  $\mathbf{P}_{h\perp} \neq \mathbf{0}$
2. T-frame (teorico)  $\mathbf{P}_T = \mathbf{P}_{hT} = \mathbf{0}$ ,  $\mathbf{q}_T \neq \mathbf{0}$

collegati da boost  
per cui  $\mathbf{q}_T = -\mathbf{P}_{h\perp} / z_h$

$$z_h = \frac{P \cdot P_h}{P \cdot q}$$

al leading twist T-frame  $\sim \perp$ -frame  
perche` il boost introduce correzioni  
del tipo  $1/Q$

## T-frame (IFM)

$$P^\mu = \frac{1}{\sqrt{2}} \left( A, \frac{M^2}{A}, \mathbf{0}_T \right) \rightarrow \left( P^+, \frac{M^2}{2P^+}, \mathbf{0}_T \right)$$

$$q^\mu = \frac{1}{\sqrt{2}} \left( -x_N A, \frac{Q^2 - \mathbf{q}_T^2}{2x_N A}, \mathbf{q}_T \right) \sim \left( -x_B P^+, \frac{P_h^-}{z_h}, \mathbf{q}_T \right) \rightarrow (-Q, Q, \mathbf{q}_T)$$

$$P_h^\mu \rightarrow \left( \frac{M_h^2}{2z_h Q}, z_h Q, \mathbf{0}_T \right)$$

IFM per stato finale:  
direzione "-" dominante

$$x_B \sim x_N = -\frac{q^+}{P^+}$$

$$z_h = \frac{P_h^-}{q^-}$$

partoni

$$p^\mu = \left( xP^+, \frac{p^2 + \mathbf{p}_\perp^2}{2xP^+}, \mathbf{p}_T \right)$$

$$k^\mu = \left( \frac{z(k^2 + \mathbf{k}_T^2)}{2P_h^-}, \frac{P_h^-}{z}, \mathbf{k}_T \right)$$

$$z = \frac{P_h^-}{k^-} \sim z_h$$

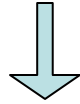
frazione light-cone  
del momento  
del quark frammentante

	+	-	
H → q	~ Q	~ 1/Q	∫ dp <sup>-</sup>
hard	~ Q	~ Q	
q → H	~ 1/Q	~ Q	∫ dp <sup>+</sup>

procedura simile a DIS inclusivo

$$2MW^{\mu\nu} = \sum_f e_f^2 \int d^4p \delta((p+q)^2 - m^2)$$

$$\text{Tr} [\Phi(p, P, S) \gamma^\mu (\not{p} + \not{q} + m) \gamma^\nu] + \begin{pmatrix} \mu \leftrightarrow \nu \\ q \leftrightarrow -q \end{pmatrix}$$



$$2MW^{\mu\nu} = \sum_f e_f^2 \int d^4p d^4k \delta(p+q-k)$$

$$\text{Tr} [\Phi(p, P, S) \gamma^\mu \Delta(k, P_h, S_h) \gamma^\nu] + \begin{pmatrix} \mu \leftrightarrow \nu \\ q \leftrightarrow -q \end{pmatrix}$$

(antiquark)

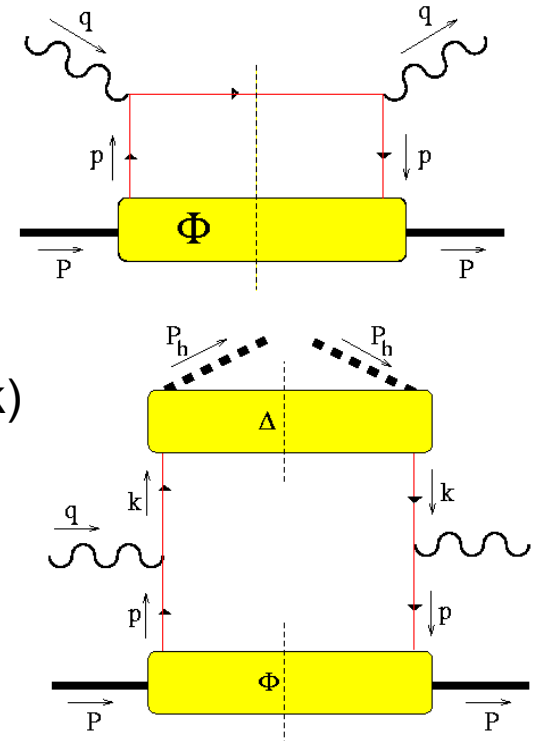
$$\xrightarrow{Q^2 \rightarrow \infty} \sum_f e_f^2 \int dp^- d\mathbf{p}_T dk^+ d\mathbf{k}_T \delta(\mathbf{p}_T + \mathbf{q}_T - \mathbf{k}_T)$$

$$\text{Tr} [\Phi(p, P, S) \gamma^\mu \Delta(k, P_h, S_h) \gamma^\nu] \Big|_{\substack{p^+ = xP^+ \\ k^- = P_h^-/z}} + \begin{pmatrix} \mu \leftrightarrow \nu \\ q \leftrightarrow -q \end{pmatrix}$$

$$\Phi(p, P, S) = \int \frac{d^4\xi}{(2\pi)^4} e^{-ip \cdot \xi} \langle P, S | \bar{\psi}(\xi) \psi(0) | P, S \rangle$$

$$\Delta(k, P_h, S_h) = \sum_X \int \frac{d^4\zeta}{(2\pi)^4} e^{ik \cdot \zeta} \langle 0 | \psi(\zeta) | P_h S_h, X \rangle \langle P_h S_h, X | \bar{\psi}(0) | 0 \rangle$$

similmente  
per antiquark



## contributi al leading twist

decomposizione della matrice di Dirac  $\Delta(k, P_h, S_h)$  sulla base delle strutture di Dirac e dei 4-(pseudo)vettori  $k, P_h, S_h$  compatibilmente con Hermiticity e invarianza per parita` e time-reversal

base di Dirac

$$\mathbf{1}, \gamma^\mu, \gamma_5, \gamma^\mu \gamma_5, i\sigma^{\mu\nu} \gamma_5$$

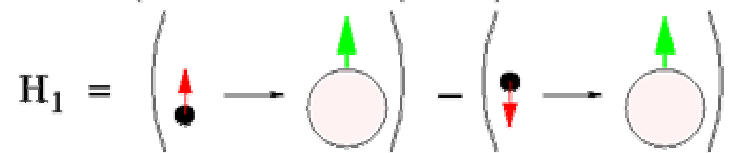
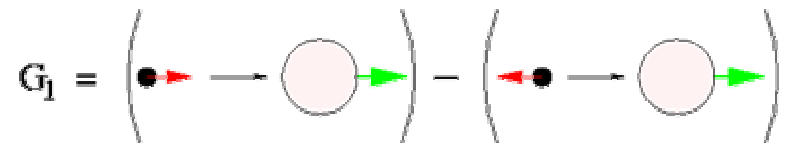
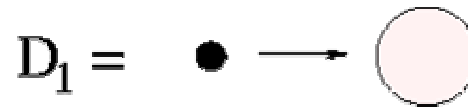
$$\Delta^{[\Gamma]}(z, S_h) = \frac{1}{4z} \int dk^+ dk_T \text{Tr} [\Delta(k, P_h, S_h) \Gamma] \Big|_{k^- = P_h^- / z}$$

Proiezioni al leading twist

$$\Delta^{[\gamma^-]}(z, S_h) = D_1(z)$$

$$\Delta^{[\gamma^- \gamma_5]}(z, S_h) = \lambda_h G_1(z)$$

$$\Delta^{[i\sigma^{i-} \gamma_5]}(z, S_h) = S_{hT}^i H_1(z)$$

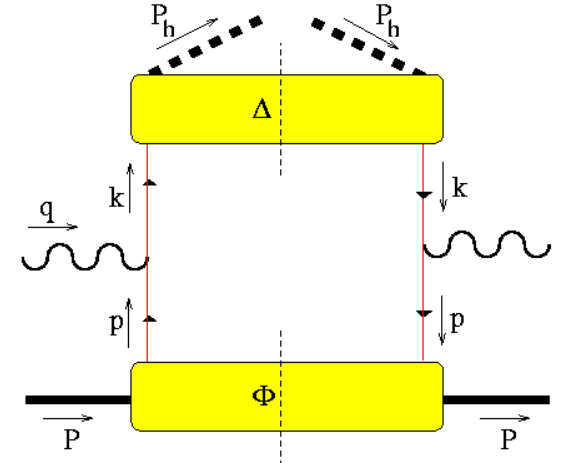


$$\Delta(z, S_h) = \frac{z}{4} \int dk^+ dk_T \Delta(k, P_h, S_h) \Big|_{k^- = P_h^- / z} \longrightarrow [D_1(z) + \lambda_h G_1(z) \gamma_5 + H_1(x) \gamma_5 \not{S}_{hT}]$$

# SSA in SIDIS

se  $S_h=0$  (ad es.  $\pi$ )  $\rightarrow h_1 \otimes$  (FF chiral-odd)  
appare al twist 3

Se  $S_h \neq 0$  (ad es.  $\Lambda^\uparrow$ ) :  $e p^\uparrow \rightarrow e' \Lambda^\uparrow X$  al twist 2



$$\frac{d\sigma}{dx dy dz d\phi_S d\phi_{S_h}} = \frac{\alpha^2}{sxQ^2} L_{\mu\nu} \int d\mathbf{P}_{hT} 2MW^{\mu\nu}$$

$$= \frac{2\alpha^2}{sxy^2} \sum_{f, \bar{f}} e_f^2 \left\{ A(y) f_1^f(x) D_1^f(z) + |S_T| |S_{\Lambda T}| B(y) \cos(\phi_S + \phi_{S_h}) x h_1^f(x) H_1^f(z) \right\}$$

$$y = \frac{P \cdot q}{P \cdot p_e} \sim \frac{\nu}{E_e}$$

SSA = depolarizzazione (o coefficiente di trasferimento di polarizzazione)

$$D_{NN} = \frac{d\sigma(p^\uparrow \Lambda^\uparrow) - d\sigma(p^\downarrow \Lambda^\uparrow)}{d\sigma(p^\uparrow \Lambda^\uparrow) + d\sigma(p^\downarrow \Lambda^\uparrow)} \propto |S_T| |S_{\Lambda T}| \frac{B(y)}{A(y)} \frac{\sum_{f, \bar{f}} e_f^2 h_1^f(x) H_1^f(z)}{\sum_{f, \bar{f}} e_f^2 f_1^f(x) D_1^f(z)}$$

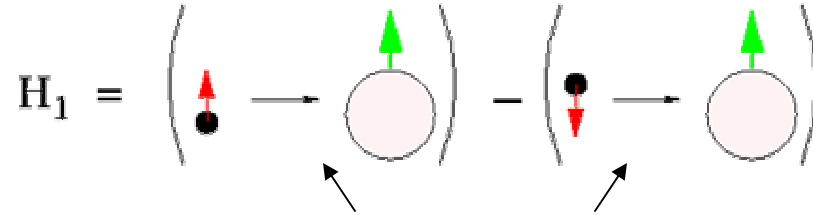
(continua)

Similmente per  
 $p \rightarrow \Lambda^{\uparrow} X$

$$D_{NN} \propto |S_T| |S_{\Lambda_T}| \frac{\sum_{f\bar{f}} e_f^2 f_1^f(x_1) h_1^f(x_2) H_1^f(z)}{\sum_{f\bar{f}} e_f^2 f_1^f(x_1) f_1^f(x_2) D_1^f(z)}$$

**Ma** problema teorico:

$\Lambda^{\uparrow} = \{u^{\uparrow}, d^{\downarrow}, s^{\uparrow}\}$   
secondo  $SU_f(3)$

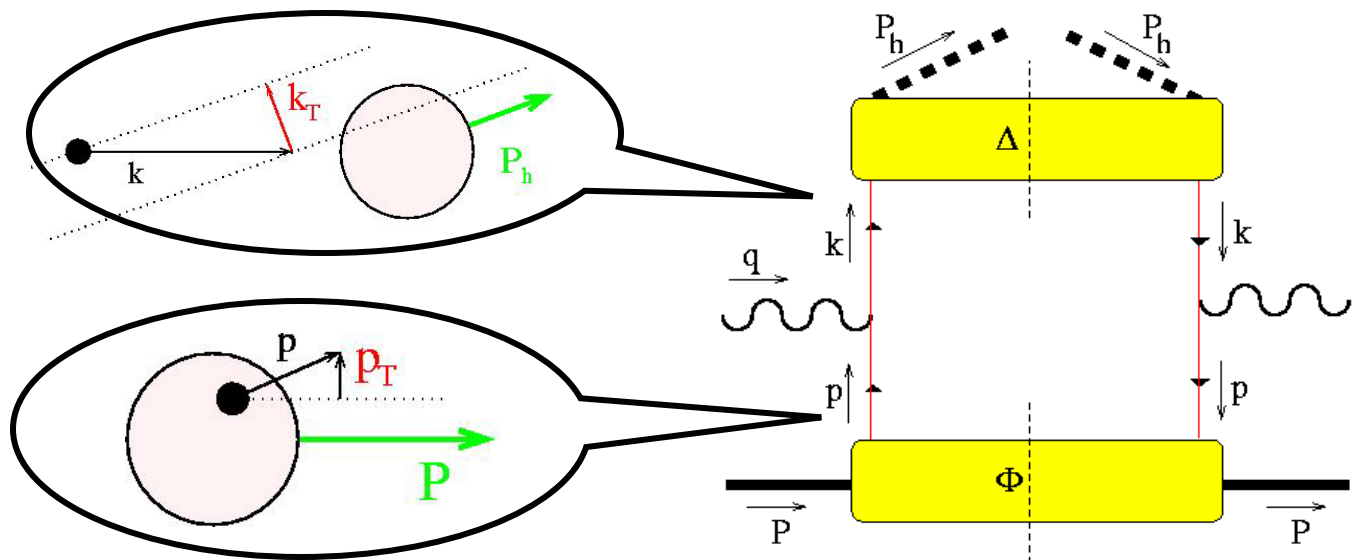


ma quale meccanismo ?

- Riassumendo :**
- SSA in  $p^{\uparrow} p^{\uparrow} \rightarrow l^+ l^- X$  improbabile; antiprotoni polarizzati trasversalmente non ancora disponibili
  - SSA in SIDIS con adroni polarizzati, ad es.  $e p^{\uparrow} \rightarrow e' \Lambda^{\uparrow} X$ , implica un meccanismo di trasferimento di polarizzazione non ancora ben noto
  - SSA in SIDIS con adroni non polarizzati contribuisce a  $\text{twist} \geq 3$

In tutti i casi difficoltosa nell'estrarre  $h_1$  dai dati  $\rightarrow$  altri meccanismi ?

- **1<sup>a</sup> osservazione** : nello stato finale l'adrone osservato è leading, porta cioè la maggior parte del momento del quark di frammentazione, il resto distribuito tra i vari oggetti che compongono il jet (X); è lecito immaginare un'interazione residua tra l'adrone e il jet → nell'analisi di  $\Delta(k, P_h, S_h)$  bisogna eliminare il vincolo dell'invarianza per time-reversal → struttura più ricca
- **2<sup>a</sup> osservazione** : in SIDIS  $\{P, q, P_h\}$  non sono tutti collineari; nel T-frame, se la sezione d'urto è differenziale anche in  $dq_T$  → sensibilità ai momenti trasversi dei partoni nel vertice hard → struttura più ricca

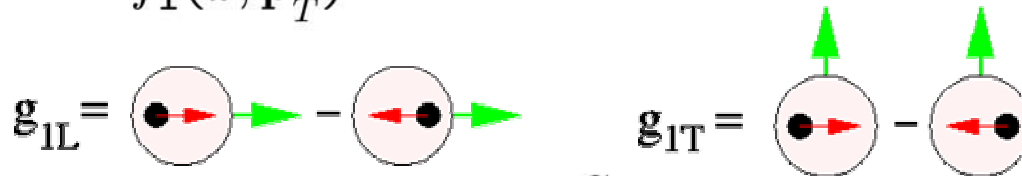


# PDF dipendenti da momento trasverso intrinseco

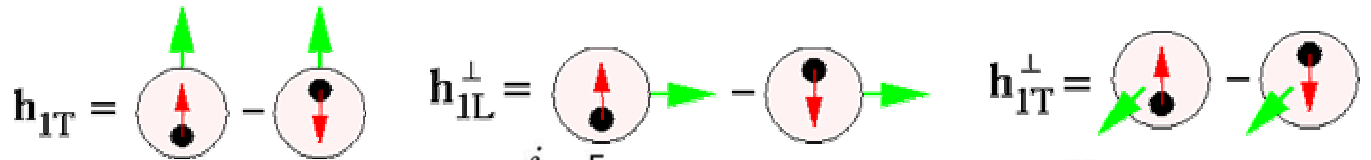
$$\Phi^{[\Gamma]}(x, \mathbf{p}_T, S) = \int dp^- \text{Tr} [\Phi(p, P, S) \Gamma] \Big|_{p^+ = xP^+}$$

Proiezioni al leading twist

$$\Phi^{[\gamma^+]}(x, \mathbf{p}_T, S) = f_1(x, \mathbf{p}_T^2)$$



$$\Phi^{[\gamma^+ \gamma_5]}(x, \mathbf{p}_T, S) = \lambda g_{1L}(x, \mathbf{p}_T^2) + \frac{\mathbf{p}_T \cdot \mathbf{S}_T}{M} g_{1T}(x, \mathbf{p}_T^2)$$



$$\Phi^{[i\sigma^{i+} \gamma_5]}(x, \mathbf{p}_T, S) = S_T^i h_{1T}(x, \mathbf{p}_T^2) + \frac{p_T^i}{M} \left[ \lambda h_{1L}^\perp(x, \mathbf{p}_T^2) + \frac{\mathbf{p}_T \cdot \mathbf{S}_T}{M} h_{1T}^\perp(x, \mathbf{p}_T^2) \right]$$

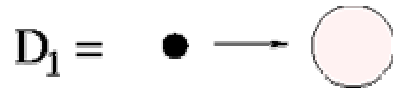
Proiezioni al twist 3 :  
lista ancora piu` lunga ....

$q^\uparrow$  → twist 2  
 $N \rightarrow$  → twist 2  
 pesata con  $\mathbf{p}_T$

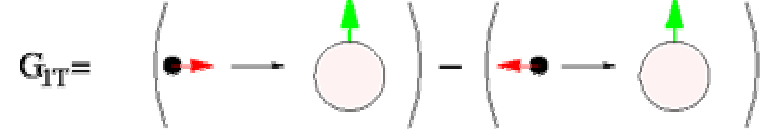
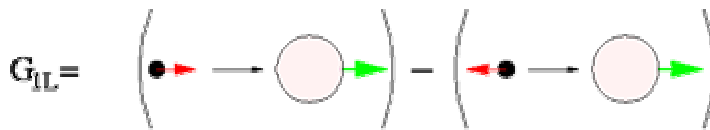
# FF dipendenti da momento trasverso intrinseco

$$\Delta^{[\Gamma]}(z, \mathbf{k}_T, S_h) = \frac{1}{4z} \int dk^+ \text{Tr} [\Delta(k, P_h, S_h) \Gamma] \Big|_{k^- = P_h^- / z}$$

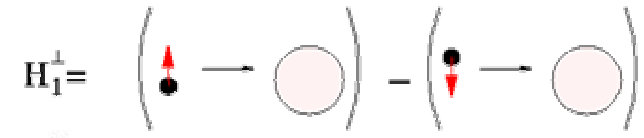
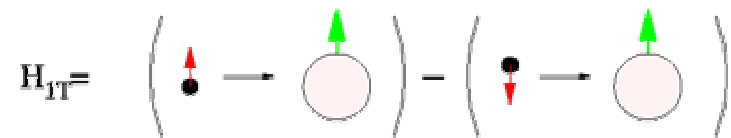
Proiezioni al leading twist



$$\Delta^{[\gamma^-]}(z, \mathbf{k}_T, S_h) = D_1(z, \mathbf{k}_T^2) + \frac{(\mathbf{k}_T \times \mathbf{S}_{hT})_i}{M_h} D_{1T}^\perp(z, \mathbf{k}_T^2)$$

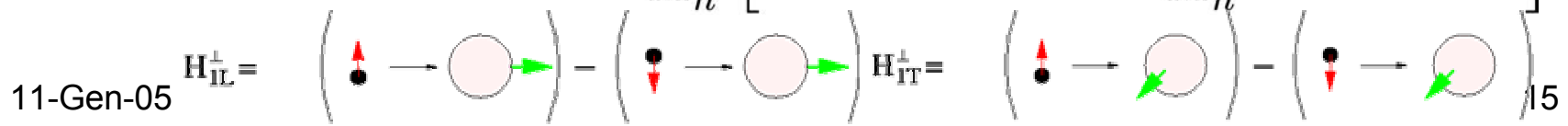


$$\Delta^{[\gamma^- \gamma_5]}(z, \mathbf{k}_T, S_h) = \lambda_h G_{1L}(z, \mathbf{k}_T^2) + \frac{\mathbf{k}_T \cdot \mathbf{S}_{hT}}{M_h} G_{1T}^\perp(z, \mathbf{k}_T^2)$$



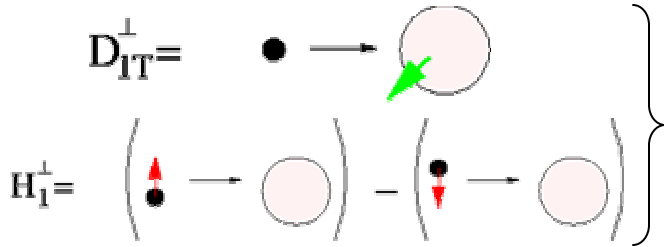
$$\Delta^{[i\sigma^{i-} \gamma_5]}(z, \mathbf{k}_T, S_h) = S_{hT}^i H_{1T}(z, \mathbf{k}_T^2) + \frac{(\hat{\mathbf{n}}_T \times \mathbf{k}_T)_i}{M_h} H_{1i}^\perp(z, \mathbf{k}_T^2)$$

$$+ \frac{k_T^i}{M_h} \left[ \lambda_h H_{1L}^\perp(z, \mathbf{k}_T^2) + \frac{\mathbf{k}_T \cdot \mathbf{S}_{hT}}{M_h} H_{1T}^\perp(z, \mathbf{k}_T^2) \right]$$



(continua)

$D_{1T}^\perp$  e  $H_{1T}^\perp$  sono FF su cui il time-reversal non impone condizioni; se le interazioni residue (FSI) tra adrone e jet nello stato finale si annullano  $\rightarrow$  entrambe le FF = 0

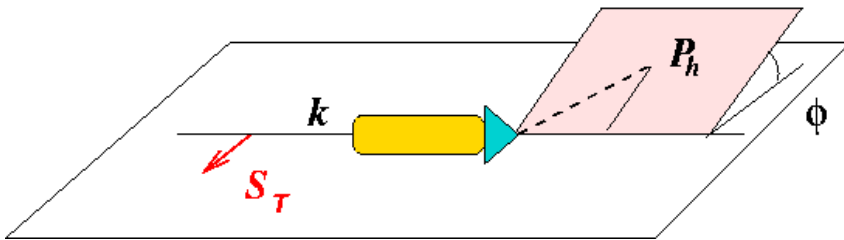


entrambe legano lo spin di un oggetto alla dipendenza da  $\mathbf{k}_T$  di un altro oggetto non polarizzato



**effetto Collins** (Collins, Nucl.Phys. **B396** ('93) 161) :

trasferire polarizzazione trasversa del quark di frammentazione non alla polarizz. trasversa dell'adrone, ma al moto orbitale di un adrone non polarizzato  $\rightarrow$  SSA dipendente da  $\mathbf{P}_{h\perp}$



**piano adronico finale**

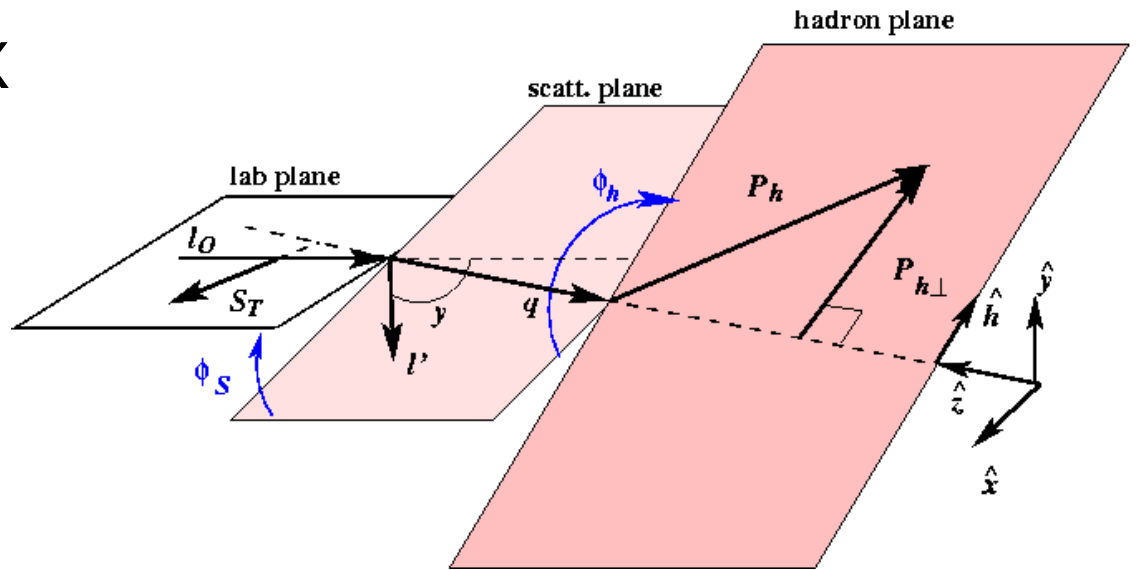
asimmetria in

$$\sin \phi \propto \mathbf{k} \times \mathbf{P}_h \cdot \mathbf{S}_T$$

tipico effetto non perturbativo (legato al momento angolare orbitale dei partoni)

# SIDIS $e p^\uparrow \rightarrow e' \pi X$

per avere l'effetto Collins  
bisogna mantenere  
la sez. d'urto  
differenziale in  $\mathbf{P}_{h\perp}$



$$\frac{d^6 \sigma_{OT}}{dx dy dz d\phi_S d\mathbf{P}_{h\perp}} = \frac{2\alpha^2}{sxy^2} \sum_{f, \bar{f}} e_f^2 \left\{ A(y) \mathcal{F} \left[ f_1^f(x, \mathbf{p}_T^2) D_1^f(z, \mathbf{k}_T^2) \right] \right. \\ \left. + |\mathbf{S}_T| B(y) \sin(\phi_h + \phi_S) \mathcal{F} \left[ \frac{\mathbf{k}_T \cdot \hat{\mathbf{P}}_{h\perp}}{M_h} h_1^f(x, \mathbf{p}_T^2) H_1^{\perp f}(z, \mathbf{k}_T^2) \right] \right\}$$

$\phi_C$  angolo di Collins

$$H_1^{\perp(1)}(z) = \int d\mathbf{k}_T \frac{\mathbf{k}_T^2}{2M_h} H_1^{\perp}(z, \mathbf{k}_T)$$

SSA

$$\frac{\int d\phi_S d\mathbf{P}_{h\perp} \frac{|\mathbf{P}_{h\perp}|}{M_h} \sin \phi_C (d\sigma^\uparrow - d\sigma^\downarrow)}{\int d\phi_S d\mathbf{P}_{h\perp} (d\sigma^\uparrow + d\sigma^\downarrow)} = |\mathbf{S}_T| \frac{B(y)}{A(y)} \frac{\sum_{f\bar{f}} e_f^2 z h_1^f(x) H_1^{\perp f(1)}(z)}{\sum_{f\bar{f}} e_f^2 f_1^f(x) D_1^f(z)}$$

Congettura semi-classica : poiche'  $\gamma^*$  colpisce  $q^\uparrow \rightarrow$  la stringa di forza di colore tra  $q^\uparrow$  e il diquark ( $qq$ ) ha un momento angolare orbitale; quando la stringa si rompe, la coppia quark-antiquark porta momento angolare orbitale e determina l'asimmetria azimutale nell'emissione dell'adrone finale osservato (Artru , hep-ph/9310323)

